

東北大学 正 松本順一郎
 東北大学。正 大久保俊治
 仙台市 正 高橋 健一

1. はじめに 地下水人工かん養は地下水の再利用及び水資源の合理的利用の実用的システムであると考えられるが、地下水処理水あるいは汚染された河川水をかん養する場合、土壤中の水質変化及び生物学的自詰りに関する知見は欠けている。本研究は、生物学的自詰りに及ぼす基質濃度の影響について実験的に検討したのである。

2. 実験装置及び方法 図1に実験装置の概要を示す。内径10cm、長さ74cmの不透明塗装装置に砂利を敷き、粒径0.25~0.42mmの沪過砂を約40cm高に充填した。定水位減衰沪過方式で基質(表1)を連続的に投入し、基質濃度の影響について検討した。実験装置は $18 \pm 2^{\circ}\text{C}$ で温度コントロールを行った。分析は東洋沪紙N0.5Cにて沪過した試料によつて行った。分析項目はDO、COD、 $\text{NH}_4\text{-N}$ 、 PO_4^{3-} 、炭水化物(アシスロン法)、有機酸である。表2に実験の初期条件を示す。

3. 実験結果及び考察 表3は実験期間中の平均水質及び平均除去率を示す。実験は滲透速度が0.1m/日以下にならままで継続した。表3より、COD及び PO_4^{3-} の除去は流入濃度の高い場合に高い除去率を示している。 $\text{NH}_4\text{-N}$ の除去は基質濃度の影響をさほど受けず、ほぼ同様な除去率であった。滲透速度はRun 1では約3ヶ月の基質の連続投入後でも0.5m/日程度を維持していた。図2に経日変化の例を示す。 PO_4^{3-} 及び $\text{NH}_4\text{-N}$ の除去は、滲透速度の減少とともに、増加する傾向が見られる。

図3は PO_4^{3-} 除去率と滲透速度との関係を示す。DOは砂層表面(0~2cm層)とほとんどが利用され、砂層2~22cmでの利用は非常に少なかった。流入基質濃度が最も高いRun 3では滲透開始後8日目に砂層下2cmでDOは1mg/l以下になつた。Run 1では30日以降にDOは1mg/l以下となつた。炭水化物の変化はほぼDOと同様な挙動を示した。

4. 土の生物学的自詰りモデル 同一径の直線的な毛細管からなる多孔質体を考へる。毛細管の方向は水の流下方向と一致し、毛細管の本数は一定でかつ不变であるとする。(図4)円管内の定常的な流れに対するハーゲン=ポアズイユの法則が毛細管内の流れにも成立するとして解析を行う。次の仮定を行う。(1)毛細管は円形であり、毛細管径は生物学的自詰りの進行とともに一様に細くなる。(2)毛細管の間隙の減少量は滲透累積水位高及び流入基質濃度に比例する。

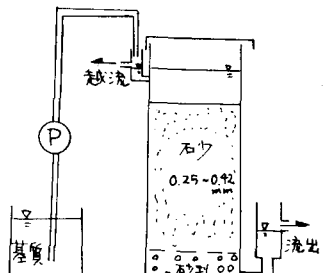


図1 実験装置

表1 基質組成 (mg/l)

	Run 1	Run 2	Run 3
$\text{C}_6\text{H}_{12}\text{O}_6$	9	18	36
NH_4Cl	9.5	19	38
KH_2PO_4	1.36	2.72	5.44
$\text{Na}_2\text{HPO}_4 \cdot 12\text{H}_2\text{O}$	8.35	16.7	33.4
Tap water	1 1	1 1	1 1

表2 初期実験条件

	Run 1	Run 2	Run 3
初期滲透速度 (m/day)	1.60	3.48	3.67
水位差 (cm)	5.5	3.8	3.5
石少層高さ (cm)	39.4	39.8	39.3
間隙率 (%)	43.1	44.7	46.9
乾燥密度 (g/cm^3)	1.49	1.45	1.39

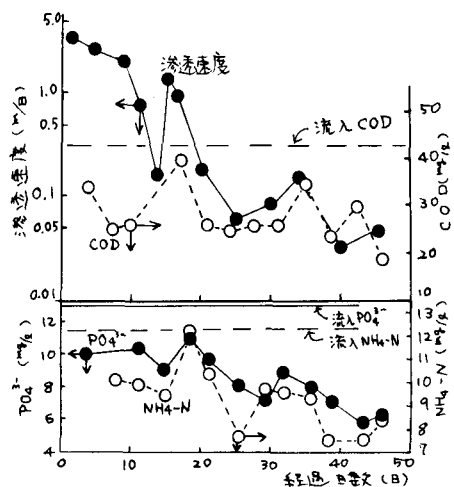


図2 Run 3 経日変化

表3. 平均水質(%)及び平均除去率(%)

Influent COD	Effluent COD	Influent NH ₄ -N	Effluent NH ₄ -N	Influent PO ₄ ³⁻	Effluent PO ₄ ³⁻
Run 1 (0~90日)	14.4	12.9 (10.4%)	3.04	2.23 (26.6%)	3.27
Run 2 (0~46日)	26.9	23.6 (12.2%)	6.16	4.61 (25.1%)	6.58
Run 3 (0~46日)	42.4	28.7 (32.2%)	12.2	8.93 (26.8%)	12.9

流れに垂直な単位断面当たりN本の毛細管が存在すると、多孔質体を通過する初期滲透速度 q_0 (%)は次式で表わせる。(動水勾配: $-\frac{ds}{ds}$, 管径 d_0)

$$q_0 = \bar{k}_1 \cdot N \cdot \bar{u} \cdot \pi (d_0^2/4) \quad \dots (1), \quad \bar{u} = \frac{\pi g d_0^2}{32 \mu} (-\frac{ds}{ds}) \quad \dots (2)$$

$$(1)(2)式より, q_0 = \bar{k}_1 \cdot N \frac{\pi g d_0^4}{128 \mu} (-\frac{ds}{ds}) \quad \dots (3)$$

目詰りが進行し、毛細管径 d_0 より d_1 に減少した時、滲透速度 q_1 は次式となる。

$$q_1 = \bar{k}_2 \cdot N \frac{\pi g d_1^4}{128 \mu} (-\frac{ds}{ds}) \quad \dots (4)$$

仮定(2)より、間隙の減少量 ΔQ と滲透累積水位高(Q)と流入基質濃度(C_i)で表現でき次式を得る。

$$\frac{\pi}{4} (d_0^2 - d_1^2) N = \bar{k}_3 Q \cdot C_i \quad \dots (5)$$

本実験では動水勾配($-\frac{ds}{ds}$)及び流入基質濃度(C_i)は一定であるので、

(3)(4)(5)式を連立させることにより次式を得る。

$$Q = \frac{dQ}{dt} = \bar{k}_4 q_0 \left\{ 1 - \frac{\bar{k}_5 Q}{C_i} \right\}^2 \quad \dots (6)$$

$$\text{ここで}, \bar{k}_4 = \bar{k}_2 / \bar{k}_1, \quad \dots (7), \quad \bar{k}_5 = \sqrt{\frac{\pi g \bar{k}_3^2 \rho g}{8 \mu \pi N \bar{k}_0}} \left(-\frac{ds}{ds} \right) C_i^2 \quad \dots (8)$$

(6)式を積分し、基質投入前の初期条件 $t=0$ で $Q=0$ を用いると次式を得る。

$$Q = \frac{\left(\frac{1}{\bar{k}_5} \right) t}{\left(\frac{\bar{k}_4}{\bar{k}_5} \bar{k}_0 + t \right)} \quad \dots (9)$$

各実験条件における目詰り現象を比較する為、基質投入前の初期滲透速度 q_0 と(9)式の両辺を割り、次式を得る。 $\bar{Q} = Q/q_0 = \frac{K_1 t}{K_2 + t} \quad \dots (10)$

$$\text{ここで}, K_1 = \frac{1}{(\bar{k}_5 \bar{k}_0)} \quad \dots (11), \quad K_2 = \frac{\bar{k}_4}{\bar{k}_5 \bar{k}_0} \quad \dots (12)$$

実験結果に対して(10)式を用いて整理した結果を図5に示す。(線形化して、 K_1 と K_2 を求めた。)

\bar{Q} は基質投入から3時間後には、滲透累積水位高が初期滲透水位高の何倍であるかを示し、 K_1 は既知定数である。図5より、流入COD濃度14.4%のRun 1を除き、本モデルは実験結果をよく

表現していると思われる。著者らがすでに報告し、初期滲透速度を変化させた実験結果を同様に整理すると、流入COD濃度=64~69 mg/l、初期滲透速度3.5 m~18 m/s、 $K_1=5.6\sim7.1$ 、 $K_2=2.7\sim4.4$ となり、 K_1 と K_2 は初期滲透速度の影響を受けず、基質濃度により決まる定数であると思われる。(文献)(1) "Dynamics of fluids in porous media", pp162~164, Jacob Bear著(1972)

(2) "下水汚泥処理水への基質遷移=門脇実験的研究" 第33回年譲、本会主大文保。あわら市立本研究の共同実験者である内藤敏夫君(当時東京大)に深謝する。

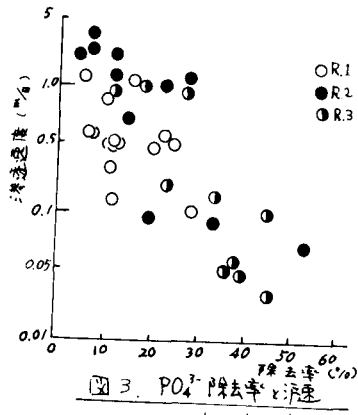
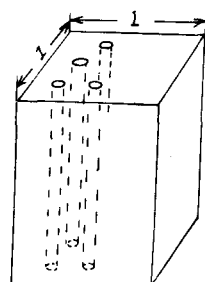
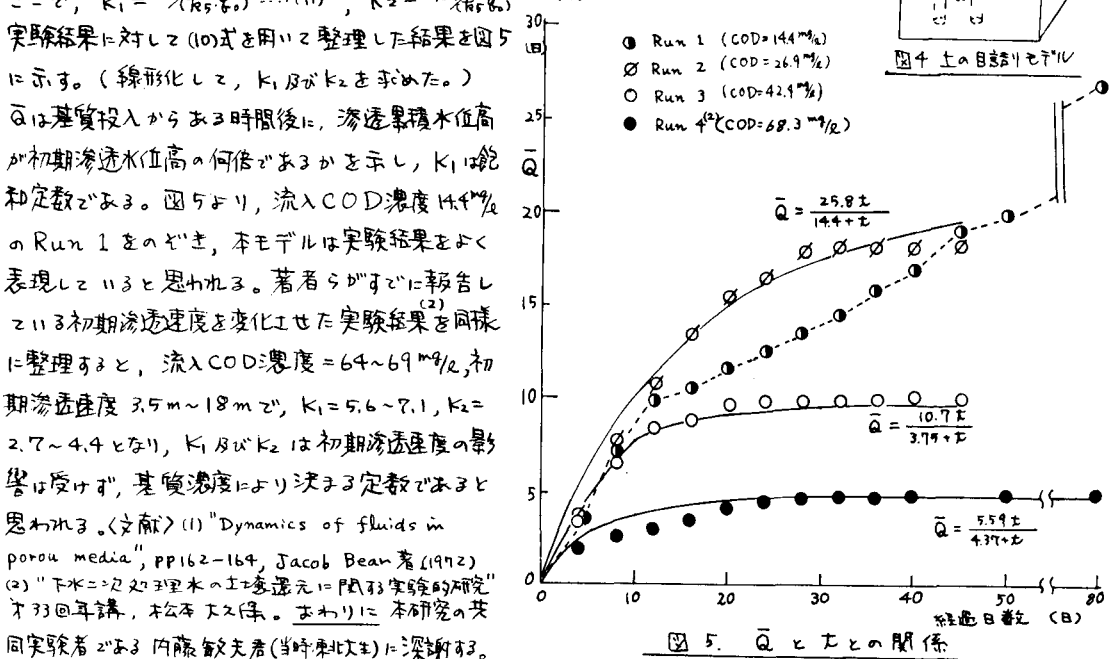
図3. PO₄³⁻ 除去率(%)

図4. 土の目詰りモデル

図5. \bar{Q} と t の関係